

# A brief comparison between Affine Projection Algorithm and Normalized Least Mean Squares Algorithm on adaptive channel equalizer designs

110064511 陳冠銘, 110064533 陳劭珩, 110064535 陳逸衍, 110064544 楊哲寬

**Abstract**—利用仿射投影演算法 (Affine Projection Algorithm) 於適應性等化器設計以消除通道雜訊之應用。APA 跟其他適應性濾波器演算法, 如 LMS, NLMS, RLS... 相比, 最大的優點在於能夠快速地收斂至最佳解, 因此在對於需要快速得到最佳解的例子, 是非常的有效。

**Index Terms**—LMS, NLMS, Affine projection algorithm, adaptive filter, adaptive equalizer.

## I. Introduction

適應性濾波器演算法中最廣為人知的方法為 LMS [1] 是一種基於 LMMSE 以及梯度下降機制所設計的濾波器, 其最主要關鍵的設計就是利用瞬間錯誤來得到更新方程式, 然而 LMS 有一個很大的缺點, 就是存在非均勻收斂的現象。為了能夠更進一步改善上述問題, NLMS 而後被提出來 [2], 而 NLMS 僅是對更新方程式做些微改變, 就能夠有效彌補 LMS 的缺點, 因此 NLMS 也是一個被廣為使用的演算法。雖然 NLMS 可以有效解決非均勻收斂問題, 但是 NLMS 與 LMS 同樣遇到一個應用上的困難, 即當設定越小的步距參數, LMS 與 NLMS 演算法收斂速度會越慢, 對於應用在需要小步距去解決的複雜問題來說, 不是個很好的選擇, 因此 [3][4] 提出一個基於仿射投影所設計的演算法 (Affine projection algorithm, 簡稱為 APA), 而 APA 最大的特點在於它可以在複雜問題中更快收斂, 更適合應用在一些有需要快速收斂需求的複雜問題上。

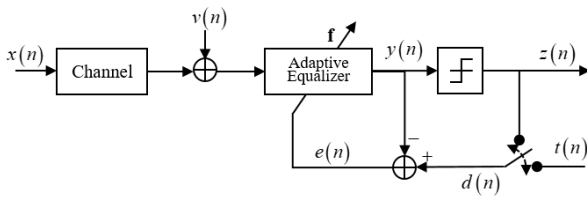


Fig. 1. 等化器方塊圖

此次的報告是基於 APA 所設計的演算法來設計適應性等化器, 詳細的步驟如 Fig.1 所示。等化器在通訊系統中是為了要來補償, 因為受到了通道以及雜訊的影響, 因此為了要復原傳送的信號, 我們可以先傳送一段接收端已知的信號, 叫做訓練序列, 當訓練序列傳送時會受到環境影響, 而到接收端時, 因為是一段已知的信號, 因此接收端可以經過一個適應性濾波器將信號做補償, 盡可能的除去通道的影響而還原回原始信號。而圖中的濾波器係數為、經過偵測後的信號為。因此此次報告是要用 APA 之適應性等化器來將信號還原, 另外也使用了 NLMS 以及 APA-SE 來比較性能。

接下來將會依照下列區塊介紹: section II 為 APA 演算法說明及推導, section III 為各等化器設計的模擬結果, section IV 為結論及工作分配。

## II. Algorithm

在演算法的部分, 第一部分解釋為何 APA 可以比 NLMS 還要更快收斂; 第二部分則是使用基於最佳化理論的方式來證明出 APA 的更新方程式; 第三部分則是證明 APA 的收斂行為。而在以下演算法中, 符號  $(\cdot)^T$  代表轉置矩陣,  $\Pi$  為仿射子空間、 $P_\Pi$  代表仿射投影到  $\Pi$ 。

### A. 空間迭代收斂證明

要如何證明在相同的迭代次數下, NLMS 濾波器係數與收斂的結果相差一定會大於 APA 濾波器係數與收斂的結果, 也就是

$$\|\mathbf{f}^0 - \mathbf{f}_{n+1}^{(1)}\| \geq \|\mathbf{f}^0 - \mathbf{f}_{n+1}^{(2)}\| \quad (1)$$

如 Fig.2(a)所示, 假設濾波器最佳解  $\mathbf{f}^0$  刚好在平面  $\Pi_{n-1}$  及  $\Pi_n$  的交界處。其中新的濾波器係數  $\mathbf{f}_{n+1}$  在 NLMS 中表示為  $\mathbf{f}_{n+1}^{(1)}$ , 在 APA 中為  $\mathbf{f}^0 - \mathbf{f}_{n+1}^{(2)}$ , 且  $0 < \alpha < 2$ , NLMS 是直接垂直投影到平面  $\Pi_n$ , 而 APA 則是投影到平面  $\Pi_{n-1}$  及  $\Pi_n$ 。因為  $P_{\Pi_n} \mathbf{f}_n - \mathbf{f}_n$  與仿射子空間  $\Pi_n$ ,  $P_{\Pi_n} \mathbf{f}_n - \mathbf{f}_n$  與  $\Pi_n \cap \Pi_{n-1}$  正交。  $P_{\Pi_n \cap \Pi_{n-1}} \mathbf{f}_n - \mathbf{f}_n$  與  $\Pi_n \cap \Pi_{n-1}$  也會正交。藉由這些關係, 可以得到

$$P_{\Pi_n \cap \Pi_{n-1}} \mathbf{f}_n - P_{\Pi_n} \mathbf{f}_n = P_{\Pi_n \cap \Pi_{n-1}} \mathbf{f}_n - \mathbf{f}_n - (P_{\Pi_n} \mathbf{f}_n - \mathbf{f}_n) \quad (2)$$

而(2)會與  $\Pi_n \cap \Pi_{n-1}$  正交, 因此, 向量  $P_{\Pi_n \cap \Pi_{n-1}} \mathbf{f}_n - P_{\Pi_n} \mathbf{f}_n$  會與  $P_{\Pi_n \cap \Pi_{n-1}} \mathbf{f}_n - \mathbf{f}^0$  正交, 依照此關係, 可得

$$\|P_{\Pi_n} \mathbf{f}_n - \mathbf{f}^0\| \geq \|P_{\Pi_n \cap \Pi_{n-1}} \mathbf{f}_n - \mathbf{f}^0\| \quad (3)$$

再來假設

$$\begin{aligned} a &= \|\mathbf{f}^0 - \mathbf{f}_n\|, b = \|\mathbf{f}^0 - P_{\Pi_n} \mathbf{f}_n\| \\ c &= \|\mathbf{f}^0 - P_{\Pi_n \cap \Pi_{n-1}} \mathbf{f}_n\|, d = \|\mathbf{f}_n - P_{\Pi_n} \mathbf{f}_n\| \\ e &= \|\mathbf{f}_n - P_{\Pi_n \cap \Pi_{n-1}} \mathbf{f}_n\| \end{aligned} \quad (4)$$

如 Fig. 2(b)所示。而在 Fig. 2(b)中可以看到  $\mathbf{f}^0$  與  $\mathbf{f}_{n+1}^{(1)}$  跟  $\mathbf{f}^0$  與  $\mathbf{f}_{n+1}^{(2)}$  的距離可以藉由直角三角關係是得到, 如下

$$\begin{aligned} \|\mathbf{f}^0 - \mathbf{f}_{n+1}^{(1)}\|^2 &= b^2 + \|\mathbf{f}_{n+1}^{(1)} - P_{\Pi_n} \mathbf{f}_n\|^2 \\ &= b^2 + (1 - \alpha)^2 d^2 \\ &= b^2 + (1 - \alpha)^2 (a^2 - b^2) \\ &= \alpha(2 - \alpha)b^2 + (1 - \alpha)a^2 \end{aligned} \quad (5)$$

同樣

$$\begin{aligned}
\| \mathbf{f}^o - \mathbf{f}_{n+1}^{(2)} \|^2 &= c^2 + \| \mathbf{f}_{n+1}^{(2)} - P_{\Pi_n \cap \Pi_{n-1}} \mathbf{f}_n \|^2 \\
&= c^2 + (1 - \alpha)^2 e^2 \\
&= c^2 + (1 - \alpha)^2 (a^2 - c^2) \\
&= \alpha(2 - \alpha)c^2 + (1 - \alpha)a^2
\end{aligned} \quad (6)$$

然後  $b > c$ 、 $\alpha(2 - \alpha) \geq 0$  將(5)與(6)組合，可以得到

$$\| \mathbf{f}^o - \mathbf{f}_{n+1}^{(1)} \| - \| \mathbf{f}^o - \mathbf{f}_{n+1}^{(2)} \| = \alpha(2 - \alpha)(b^2 - c^2) \quad (7)$$

因為兩者相減所剩下的值恆大於等於零，因此可以得到

$$\| \mathbf{f}^o - \mathbf{f}_{n+1}^{(1)} \| \geq \| \mathbf{f}^o - \mathbf{f}_{n+1}^{(2)} \| \quad (8)$$

所以證明了 APA 會比 NLMS 還要快收斂。

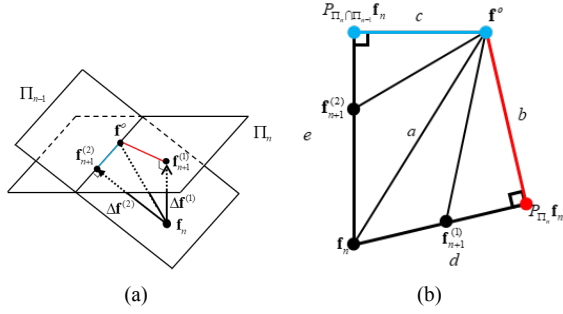


Fig. 2. (a) 收斂投影圖 (b) 收斂平面圖

B. 由最佳化理論證明 APA 的更新方程式

一般證明更新方程式的方式有很多種，為了能夠看出 NLMS 以及 APA 的相似之處，在此使用最佳化理論 [5] 來證明 NLMS 以及 APA，而 NLMS 的方式如下

$$\min_{\mathbf{f}} \quad \| \mathbf{f} - \mathbf{f}_n \|^2 \quad (9)$$

$$\text{s.t.} \quad d(n) - \mathbf{x}_n^T \mathbf{f} = 0 \quad (10)$$

其中式(9)及(10)代表的是要讓實際濾波器係數與估計的濾波器係數相差越小越好，而且要在錯誤為零的條件下達到，接著使用拉格朗日乘數可以得到 NLMS 的更新方程式，為

$$\mathbf{f}_{n+1} = \mathbf{f}_n + \alpha e(n) \frac{\mathbf{x}_n}{c + \mathbf{x}_n^T \mathbf{x}_n} \quad (11)$$

其中  $c$  為非常小的正實數。其中

$$\mathbf{x}_n = [x(n), x(n-1), \dots, x(n-M+1)]^T \quad (12)$$

$$\mathbf{f}_n = [f(n), f(n-1), \dots, f(n-M+1)]^T \quad (13)$$

$M$  代表濾波器長度。

而 APA 的證明與 NLMS 極為相似，差在限制除了限制當下時間點的誤差外，也考慮了  $L-1$  個時間點的誤差，如下所示

$$\min_{\mathbf{f}} \quad \| \mathbf{f} - \mathbf{f}_n \|^2 \quad (14)$$

$$\text{s.t.} \quad d(n) - \mathbf{x}_n^T \mathbf{f} = 0$$

$$d(n-1) - \mathbf{x}_{n-1}^T \mathbf{f} = 0$$

$\vdots$

$$d(n-L+1) - \mathbf{x}_{n-L+1}^T \mathbf{f} = 0 \quad (15)$$

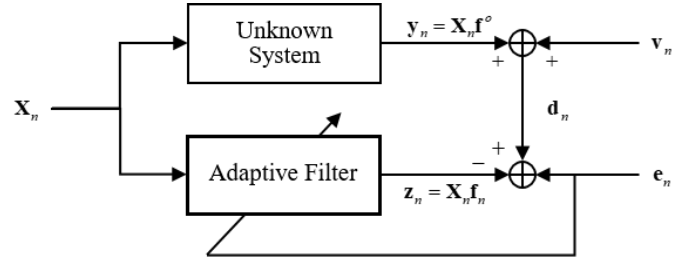


Fig. 3. 收斂平面圖

$L$  代表投影誤差長度。利用拉格朗日乘數，可以得到

$$\begin{aligned}
\mathcal{L}(\mathbf{f}, \lambda_0, \lambda_1, \dots, \lambda_{L-1}) &= \| \mathbf{f} - \mathbf{f}_n \|^2 \\
&+ \sum_{i=0}^{L-1} \lambda_i [d(n-i) - \mathbf{x}_{n-i}^T \mathbf{f}]
\end{aligned} \quad (16)$$

並對(16)中  $\mathbf{f}$  偏微分令其等於零得到

$$2\mathbf{f} - 2\mathbf{f}_n - \sum_{i=0}^{L-1} \lambda_i \mathbf{x}_{n-i} = 0 \quad (17)$$

整理得

$$\begin{aligned}
\mathbf{f} &= \mathbf{f}_n + \sum_{i=0}^{L-1} \frac{\lambda_i}{2} \mathbf{x}_{n-i} \\
&= \mathbf{f}_n + \mathbf{X}_n^T \boldsymbol{\lambda}
\end{aligned} \quad (18)$$

其中，

$$\mathbf{X}_n = [\mathbf{x}_n, \mathbf{x}_{n-1}, \dots, \mathbf{x}_{n-L+1}]^T \quad (19)$$

$$\boldsymbol{\lambda} = \left[ \frac{\lambda_0}{2}, \frac{\lambda_1}{2}, \dots, \frac{\lambda_{L-1}}{2} \right]^T \quad (20)$$

並對(18)等號兩邊的左邊乘上  $\mathbf{X}_n$ ，若假設(19)每列為線性獨立，且  $\mathbf{X}_n \mathbf{X}_n^T$  為非奇異矩陣，可以得到

$$\begin{aligned}
\mathbf{X}_n \mathbf{X}_n^T \boldsymbol{\lambda} &= \mathbf{e}_n \\
\boldsymbol{\lambda} &= (\mathbf{X}_n \mathbf{X}_n^T)^{-1} \mathbf{e}_n
\end{aligned} \quad (21)$$

將(21)帶入(18)中，可得

$$\begin{aligned}
\mathbf{f} &= \mathbf{f}_n + \mathbf{X}_n^T (\mathbf{X}_n \mathbf{X}_n^T)^{-1} \mathbf{e}_n \\
\mathbf{e}_n &= \mathbf{d}_n - \mathbf{X}_n \mathbf{f}_n
\end{aligned} \quad (22)$$

其中

$$\mathbf{d}_n = [d(n), d(n-1), \dots, d(n-L+1)]^T \quad (23)$$

因此 APA 的更新方程式為

$$\begin{aligned}
\mathbf{f}_{n+1} &= \mathbf{f}_n + \alpha \mathbf{X}_n^T (\mathbf{X}_n \mathbf{X}_n^T)^{-1} \mathbf{e}_n \\
&= \mathbf{f}_n + \alpha \mathbf{X}_n^\dagger \mathbf{e}_n
\end{aligned} \quad (24)$$

其中  $(\cdot)^\dagger$  代表虛擬反矩陣。再來，為了簡化更新方程式，我們將  $\mathbf{e}_n$  取 sign，得到新的更新方程式為

$$\mathbf{f}_{n+1} = \mathbf{f}_n + \alpha \mathbf{X}_n^T (\mathbf{X}_n \mathbf{X}_n^T)^{-1} \text{sgn}(\mathbf{e}_n) \quad (25)$$

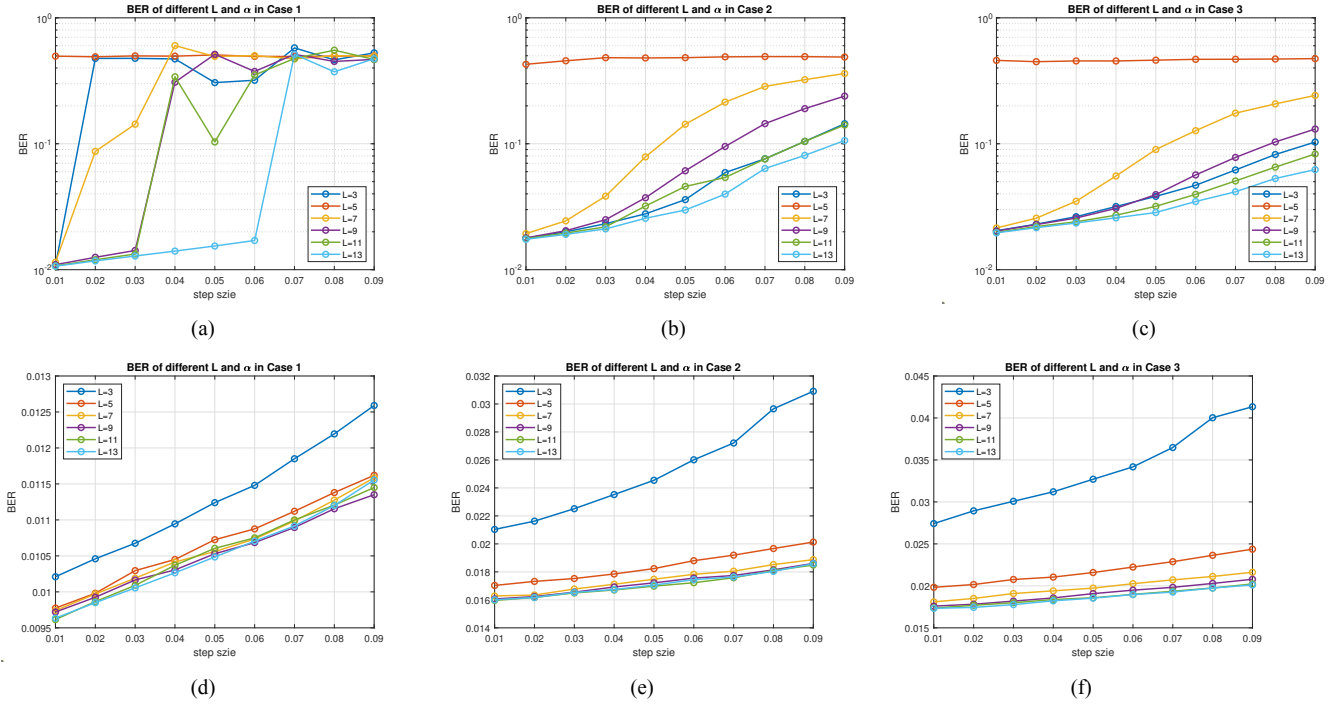


Fig. 4. (a) APA 在 static channel 的 BER (b) APA 在 quasi-static channel 的 BER (c) APA 在 time varying channel 的 BER (d) NLMS 在 static channel 的 BER (e) NLMS 在 quasi-static channel 的 BER (f) NLMS 在 time varying channel 的 BER

### C. APA 收斂行為

要證明收斂行為，我們先假設是一個系統識別的問題，Fig. 3 所示。

其中，輸入信號  $\mathbf{X}_n$  為廣義穩態信號、 $\mathbf{v}_n$  為 AWGN、且  $\mathbf{X}_n$  與  $\mathbf{v}_n$  相互獨立。未知系統中的係數為  $\mathbf{f}^o$ ，更新方程式如下

$$\begin{aligned}\mathbf{f}_{n+1} &= \mathbf{f}_n + \alpha \mathbf{X}_n^T (\mathbf{X}_n \mathbf{X}_n^T)^{-1} \mathbf{e}_n \\ &= \mathbf{f}_n + \alpha \mathbf{X}_n^T (\mathbf{X}_n \mathbf{X}_n^T)^{-1} (\mathbf{d}_n - \mathbf{X}_n \mathbf{f}_n)\end{aligned}\quad (26)$$

而  $\mathbf{d}_n = \mathbf{X}_n^T \mathbf{f}^o + \mathbf{v}_n$ ，帶回(26)式如下

$$\mathbf{f}_{n+1} = \mathbf{f}_n + \alpha \mathbf{X}_n^T (\mathbf{X}_n \mathbf{X}_n^T)^{-1} (\mathbf{X}_n^T \mathbf{f}^o + \mathbf{v}_n - \mathbf{X}_n \mathbf{f}_n) \quad (27)$$

將(27)簡化可得

$$\begin{aligned}\tilde{\mathbf{f}}_{n+1} &= (\mathbf{I} - \alpha \mathbf{X}_n^T (\mathbf{X}_n \mathbf{X}_n^T)^{-1} \mathbf{X}_n) \tilde{\mathbf{f}}_n \\ &\quad - \alpha \mathbf{X}_n^T (\mathbf{X}_n \mathbf{X}_n^T)^{-1} \mathbf{v}_n\end{aligned}\quad (28)$$

(28)中第二項因為  $\mathbf{X}_n$  與  $\mathbf{v}_n$  相互獨立因此可以直接省略，此外  $\tilde{\mathbf{f}}_{n+1} = \mathbf{f}_o - \mathbf{f}_n$ 。

假設  $\mathbf{A}_n = \mathbf{X}_n^T (\mathbf{X}_n \mathbf{X}_n^T)^{-1} \mathbf{X}_n$ ，而藉由 (28)可以證明在  $0 < \alpha < 2$  的條件下， $\mathbf{f}$  將會收斂到 0。首先，將 (28)兩邊同取期望值，並且做化簡可得

$$E\{\tilde{\mathbf{f}}_{n+1}\} = (\mathbf{I} - \alpha E\{\mathbf{A}_n\}) E\{\tilde{\mathbf{f}}_n\} \quad (29)$$

再來將  $E\{\mathbf{A}_n\}$  做特徵分解如下

$$E\{\tilde{\mathbf{f}}_{n+1}\} = (\mathbf{I} - \alpha \mathbf{Q} \mathbf{\Lambda} \mathbf{Q}^T) E\{\tilde{\mathbf{f}}_n\} \quad (30)$$

(30)中的  $\mathbf{Q}$  為特徵向量，其對應到的特徵值為  $\mathbf{\Lambda} = \text{diag}(\lambda_1, \lambda_2, \dots, \lambda_k)$ ，再來假設  $\tilde{\mathbf{f}}_n = \mathbf{Q}^T E\{\tilde{\mathbf{f}}_n\}$  帶回上式，會得到

$$\mathbf{Q}^T E\{\tilde{\mathbf{f}}_{n+1}\} = \mathbf{Q}^T E\{\tilde{\mathbf{f}}_n\} - \alpha \mathbf{Q}^T \mathbf{Q} \mathbf{\Lambda} \mathbf{Q}^T E\{\tilde{\mathbf{f}}_n\} \quad (31)$$

$$\begin{aligned}\hat{\mathbf{f}}_{n+1} &= \hat{\mathbf{f}}_n - \alpha \mathbf{\Lambda} \hat{\mathbf{f}}_n \\ &= (1 - \alpha \mathbf{\Lambda}) \hat{\mathbf{f}}_n \\ \hat{f}_n(j) &= (1 - \alpha \lambda_j)^n \hat{f}_0(j)\end{aligned}\quad (32)$$

而其中  $0 < \lambda_j < 1$ ，因此當  $0 < \alpha < 2$  時，其括號內值都會小於 1，因此可以得知  $\hat{\mathbf{f}}_n$  將會收斂至 0。

### III. Simulations

由 Fig. 4 所示可以看到，根據我們嘗試不同 filter length  $L$  與不同 step size  $\alpha$  的模擬結果，無論是 NLMS 或是 APA，選擇越高的 filter length  $L$  與越小的 step size  $\alpha$  所得到的 BER 會越低。由上述模擬結果推估，filter length  $L$  大約在 11、13 左右時效能會逐漸收斂。因此我們最後使用  $L = 13$ 。若設備與時間許可的話，理論上更高的 filter length  $L$  應能達到更好的結果。至於最終演算法選擇，由於 NLMS 的效能稍微比 APA 更佳（即 BER 較低），因此在這個通道雜訊消除的問題應用上，我們會選用 NLMS 來完成。

### IV. Conclusion

LMS 是利用瞬間的錯誤來得到更新方程式，LMS 有一個很大的缺點，就是存在非均勻收斂的現象。為了能夠更進一步改善上述問題，NLMS 而後被提出來，雖然 NLMS 可以有效解

決非均勻收斂問題，但是 NLMS 與 LMS 同樣遇到一個應用上的困難，即當設定越小的步距參數，LMS 與 NLMS 演算法收斂速度會越慢，對於應用在需要小步距去解決的複雜問題來說，不是個很好的選擇，因此利用仿射投影演算法 (Affine projection algorithm) 去優化，而 APA 最大的優點在於它可以在複雜問題中更快收斂，更適合應用在一些有需要快速收斂需求的複雜問題上。

我們這次對 NLMS 與 APA 這兩種演算法進行簡單的分析與比較。APA 的優勢在於收斂速度較快，不過它的演算法複雜度也較高。因此，需要考量問題需求及硬體資源、時間成本等因素，來判斷選擇何種演算法更合適。如果愈解決的問題相當複雜且有快速收斂的要求，APA 可能是合適的選擇；而如果當 BER 比收斂速度更加重要時，則是 NLMS 比 APA 更加合適。從模擬結果來看，雖然 APA 收斂速度快，但相比之下其 BER 表現相較 NLMS 在簡單的雜訊消除問題下並沒有顯著的優勢，故 APA 在等化器演算法設計中並不是最佳解，但若只看 MSE，因為 APA 收斂速度快的緣故，是較 NLMS 更佳的演算法。

最後是工作分配，本組同學都積極參與期末專案實作，雖然投入時間不同但大家整體貢獻都差不多，謝謝老師及助教學長。

學號	姓名	工作內容	貢獻度
110064511	陳冠銘	APA 演算法數學推導, 及物理意義分析	25%
110064533	陳劭衍	Latex 撰寫, 上台報告, 演算法程式實作	25%
110064535	陳逸衍	NLMS 程式實作, 圖表, 及投影片製作	25%
110064544	楊哲寬	RLS 程式實作, 資料蒐集, 及程式除錯	25%

TABLE I  
ASP Term Project 第 6 組工作分配表

## References

- [1] B. Widrow and M. E. Hoff, "Adaptive switching circuits," 7960 *IRE WESCON Conv. Record*, pp. 96–104, Aug. 1960.
- [2] T. Hsia, "Convergence analysis of lms and nlms adaptive algorithms," in *ICASSP '83. IEEE International Conference on Acoustics, Speech, and Signal Processing*, vol. 8, 1983, pp. 667–670.
- [3] K. Ozeki and T. Umeda, "An adaptive filtering algorithm using an orthogonal projection to an affine subspace and its properties," *Electronics and Communications in Japan (Part I: Communications)*, vol. 67, no. 5, pp. 19–27, 1984.
- [4] K. Ozeki, "Theory of affine projection algorithms for adaptive filtering," in *Springer*, 2016.
- [5] H. S., "Adaptive filter theory," in *Pearson*, 2014.